

埼玉大学 大学院 学生員 ○飯沢雅人  
埼玉大学 工学部 正会員 佐藤邦明

### はじめに

降雨によって地上に供給される水は、地中を鉛直不飽和浸透し、地下水面上に到達する。このときの地下水帯への水供給量やその時間的変化状態を知ることは、地下の涵養機構や地下水流出現象を理解する上で、重要なと考へられる。しかしながら、鉛直不飽和浸透過程において、水分拡散方程式を厳密に解いて実験に対応させることは、困難を伴う。そこで、本研究では多孔体用管を用いて実験をし、降雨と流出の応答関係を捉えるという立場より、降雨水浸透による地下水帯への水供給過程の定性的、定量的性質を検討した。

### 1 実験方法

図-1に示すよろは、内径20cm、長さ90cmのアクリル製透明円筒に多孔体を数層に分けて一様に詰め、あらかじめオーバーフロー装置を調節して地下水水面を設定しておき、注射針を用いて降雨シミュレーターにより表面に湛水が生じない程度の降雨を与える。そして、鉛直不飽和浸透によって設定地下水面上に到達する透過水を、オーバーフロー装置で計量し、ハイドログラフを得る。なお、多孔体としては、7号砂石( $d_{50}=4.3\text{ mm}$ 、空隙率=49.2%)、3号砂( $d_{50}=0.5\text{ mm}$ 、空隙率=48.5%)を使用し、降雨強度は、 $0\sim 40\text{ mm}/\text{min}$ 、継続時間は、20min、60minで、各々、数ケースの実験をした。

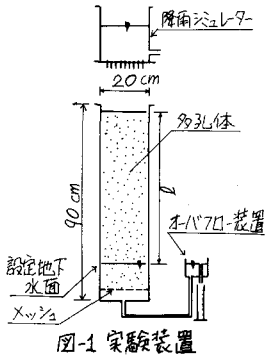


図-1 実験装置

### 2 流出閑数による表現

実験から得たハイドログラフに関して、流出閑数による表現を試みた。流出閑数( $K(t)$ )としては、石原、高瀬らが由良川洪水解析の際に研究したもの(1)を用い、これに実測ハイドログラフの積分値、すなわち、総流出量 $Q$ を掛け次のようによ流出閑数による単位時間当たりの流出量 $\bar{Q}(t)$ を定めた。

$$K(t) = \alpha^{N+1} / \Gamma(N+1) \cdot t^N \cdot e^{-\alpha t}, \quad \bar{Q}(t) = Q \cdot K(t) \quad \cdots (1)$$

ここで、 $\alpha$ は係数、 $\Gamma$ はガンマ関数、 $N$ は降雨強度によって変化する数、 $t$ は時間である。  
なお、 $N$ 、 $\alpha$ は実測ハイドログラフの流出開始からピークまでの時間とピーク流出量が $\bar{Q}(t)$ のそれと一致するように決定した。

### 3 不飽和浸透流の解析による流出量変化

Kluteの拡散方程式において、重力項を無視し、拡散係数 $D$ が含水量にかかわらず一定であるとすれば、 $\theta$ が含水量、 $z$ が表面からの鉛直距離、 $t$ が時間のとき、 $\partial\theta/\partial t = D \cdot \partial^2 \theta / \partial z^2$ となる。これを次の2つの場合について解く。(1)無降雨状態で、初期含水量 $\theta_0$ が鉛直方向に一様に分布しているときに降雨を与えた場合——初期条件、 $t=0$ で $\theta=\theta_0$ 、境界条件、 $z=0$ で $\theta=\theta_0$ (降雨時の地表面の含水量)、 $z=L$ で $\partial\theta/\partial z=0$ (生管上昇部に接続)。(2)降雨中で鉛直方向の含水量が $\theta_0$ で、一様に分布しているときに降雨を止めた場合——初期条件、 $t=0$ で $\theta=\theta_0$ 、境界条件、 $z=0$ で $\theta=\theta_0$ (未降雨含水量)、 $z=L$ で $\partial\theta/\partial z=0$ 。

$$(a) \frac{\theta - \theta_0}{\theta_c - \theta_0} = 1 - \sum_{n=1}^{\infty} \frac{4}{(2n-1)\pi} \exp\left\{-\frac{(2n-1)^2\pi^2}{4} T\right\} \sin\left(\frac{(2n-1)\pi}{2} L\right), \quad (b) \frac{\theta - \theta_0}{\theta_c - \theta_0} = \sum_{n=1}^{\infty} \frac{4}{(2n-1)\pi} \exp\left\{-\frac{(2n-1)^2\pi^2}{4} T\right\} \sin\left(\frac{(2n-1)\pi}{2} L\right) \cdots (2)$$

ここに、 $T$ 、 $L$ は無次元量で、 $T = D^2 t / \theta_0^2$ 、 $L = z / \theta_0$ であり、含水量は、体積含水率( $V/V \times 100\%$ )で表わすものとする。

この式(2),(4),(6)から、 $l=75\text{cm}$ ,  $L=10$ の位置での $\theta$ の変化を求め、それから流出量を求めて。すなはち、 $\theta>\theta_0$ のときは単位時間当たり、 $\dot{\theta}=(\theta-\theta_0)/100 \cdot A \cdot v$  ( $A$ は円筒断面積、 $v$ は $\theta$ の含水率の降下速度)だけ流出し、 $\theta<\theta_0$ では流出しないと考え、 $D, \theta_0, \theta, \dot{\theta}$ を右山並み仮定して、試みに計算した。(図-2参照)

#### 4. 実験結果と考察

図-3(a)、降雨強度 $R=210\text{mm/min}$ 、継続時間 $t=60\text{min}$ 、 $R=70\text{mm/min}$ 、 $t=240\text{min}$ について、実測と流出閾値とを比較したもので、ゆるやかなハイドログラフの方が流出閾値によくて、良く表現できることが判る。他のデータも同様の傾向を示した。また、前者の実測ハイドログラフと比較して、前述の水分拡散理論によると、 $D=15\text{cm}^2/\text{min}$ ,  $\theta_0-\theta_0=2\%$ と仮定して計算し、図中○で記して。これより、ハイドログラフの立ち上がり部分では大きさの差がみられるが、つい減部分では良く一致することが判る。次に、図-4は流出閾値によつて表現を試みた降雨に対する、降雨強度 $R$ と式(4)中の $N$ の値との関係を示したものであり、7号砕石と3号砂では右上がりの傾向にあることが判る。さらに多くの実験をし、 $R-N$ 関係が明かにできれば、降雨から流出を予測する手立てとなる。

図-5は、降雨強度 $R$ が異なる場合のハイドログラフの性格を示したものである。 $R$ によって、流出開始までの滝山時間やピーク流出量 $Q_{MAX}$ は変化するが、それ以外のつい減部分では、お互いに一致するような傾向がうかがえる。これは、つい減特性が多孔体の物理的性質に依存しているためと考えられる。また、 $R$ と $Q_{MAX}$ の関係を図-6に示すが、ほぼ比例関係にあることが判る。

図-7は、多孔体の粒径の大小に伴うハイドログラフの性格について示したものであり、7号砕石( $d_{50}=0.43\text{mm}$ )と3号砂( $d_{50}=0.5\text{mm}$ )と、ほぼ等しい強度の雨を落らせた場合について比較している。これより、粒径の大きい、すなはち、透水係数の大きなものの方が急な形状となることが判る。特に、降雨停止から、つい減が始まるまでの時間、排水に要する時間が短かい。

図-8は、断続型降雨の場合のハイドログラフの性格について示したもので、同じ降雨でも、オーピーク流出量が極端に大きくなるという傾向を示すことが判る。

#### 5. 結論

今回の実験より、比較的ゆるやかなハイドログラフは、流出閾値によりある程度表現でき、また、水分拡散理論から求めた流出量曲線は、つい減部分では実測ハイドログラフとよく一致するが、立ち上がり部分では大きさの差を生じる。さらに、ハイドログラフの性格とし、同一多孔体では降雨強度によらず、つい減部分が一致することなどが判った。

(参考文献) (1)金丸明治・高柳誠馬著:水文学、朝倉書店、pp203、(2)(1)と同じ pp.101~103、

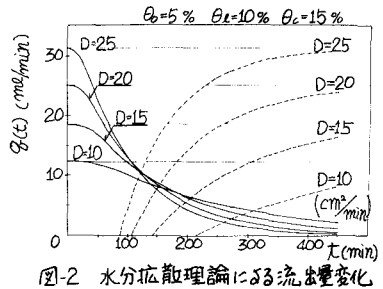


図-2 水分拡散理論による流量変化

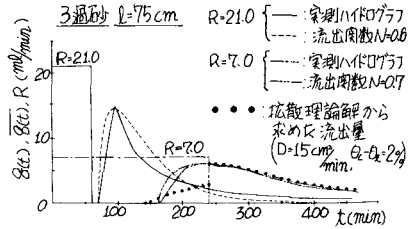


図-3 実験値と流出閾値および拡散理論解との比較

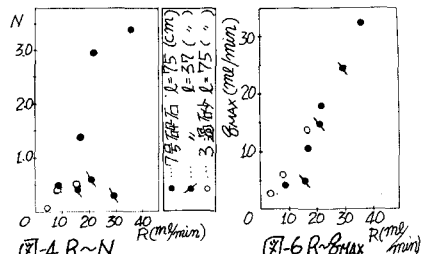


図-4 R~N

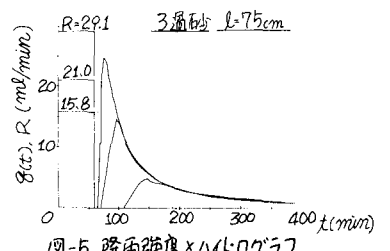


図-5 雨強度とハイドログラフ

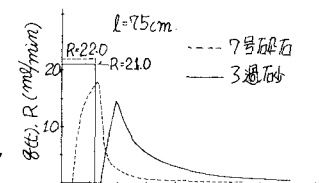


図-6 R~R\_max

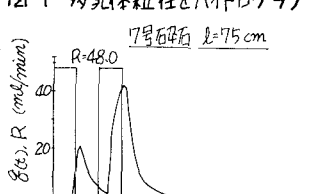


図-7 3号砂粒径とハイドログラフ

図-8 断続型降雨によるハイドログラフ